

# Das Wiener Anthropozän

## Projekt “The Anthropocene Surge”

Michael Wagreich <sup>1</sup>

Katrin Hornek <sup>2</sup>

Kira Lappé <sup>1</sup>

Maria Meszar <sup>1</sup>

<sup>1</sup> Universität Wien

<sup>2</sup> Universität für Angewandte Kunst

## Kooperationspartner:

Christine Jawecki (MA 29)

Martin Mosser (Stadtarchäologie Wien)

Karin Hain (Universität Wien)

Finanziert durch den WWTF (Wiener Wissenschafts-, Forschungs- und Technologiefonds)  
(WWTF ESR17-040)

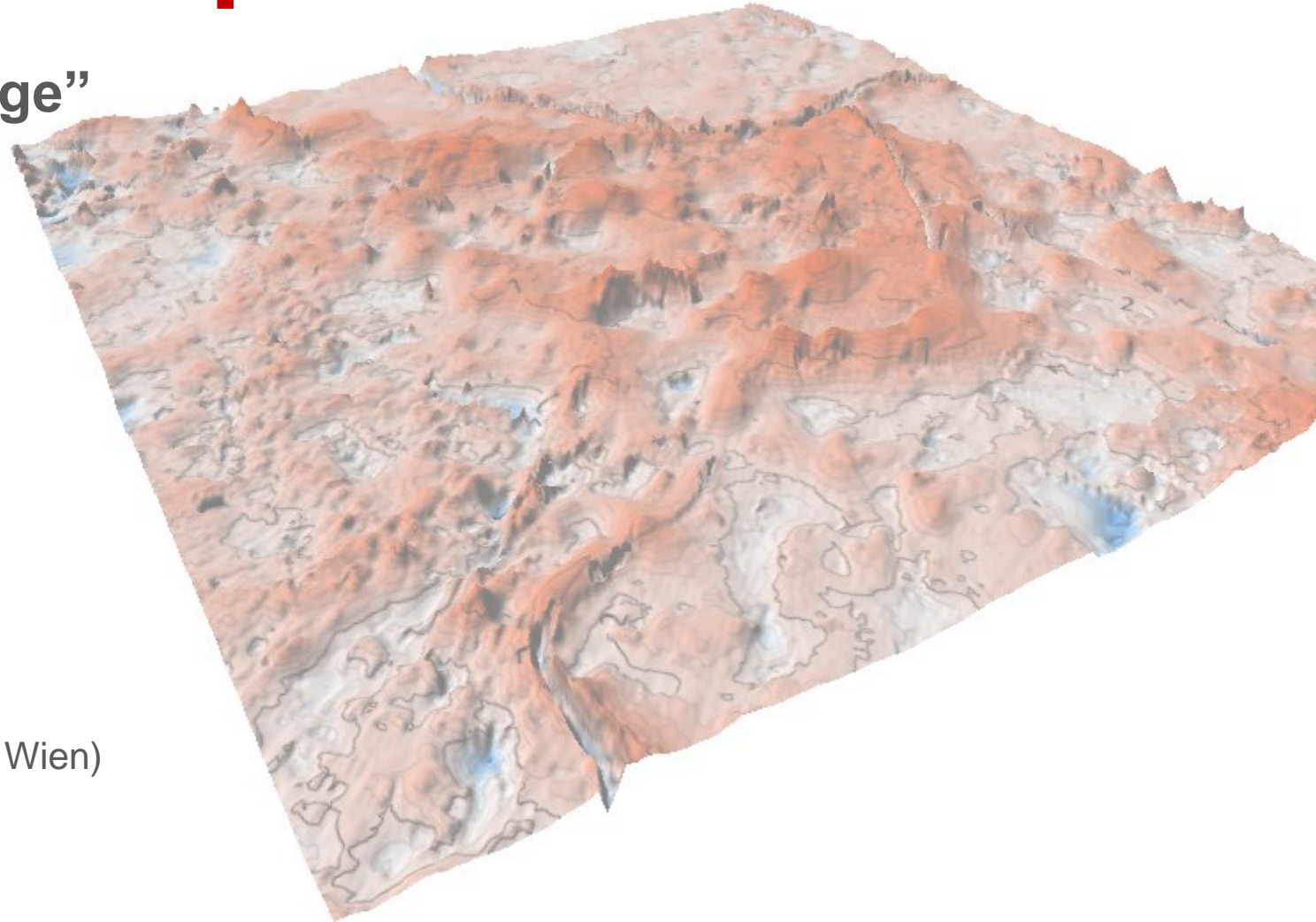






Foto: Google Earth



Foto: Corbis



Foto: Gettis Images





Eduard Suess (1831–1914)

Karte der Stadt Wien, 1862







# Daten

- **Bohrkerndaten**

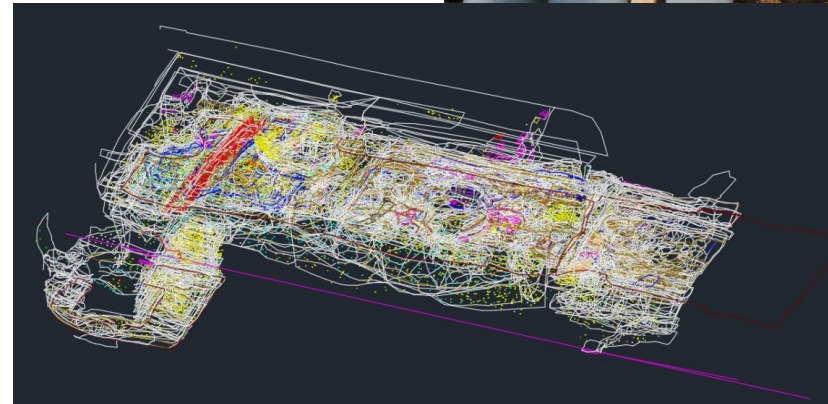
(MA 29 Brückenbau und Grundbau, Stadt Wien)



Foto: Katrin Hornek

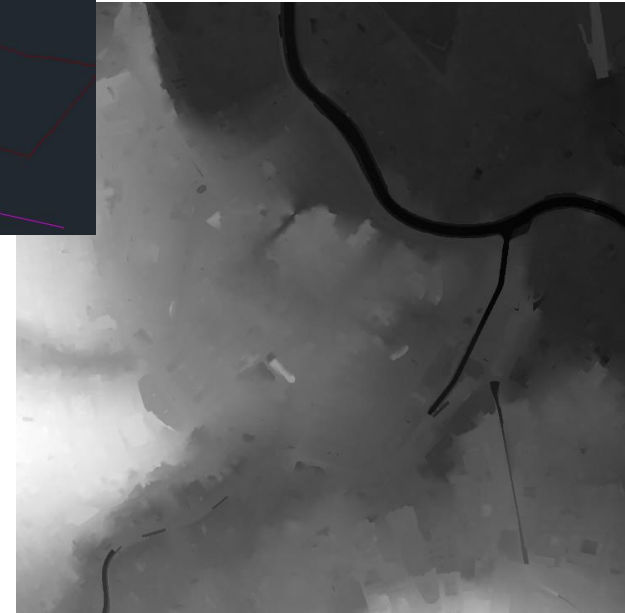
- **Archäologische Daten**

(Stadtarchäologie Wien, Wien Museum)



- **Digitales Oberflächenmodell**

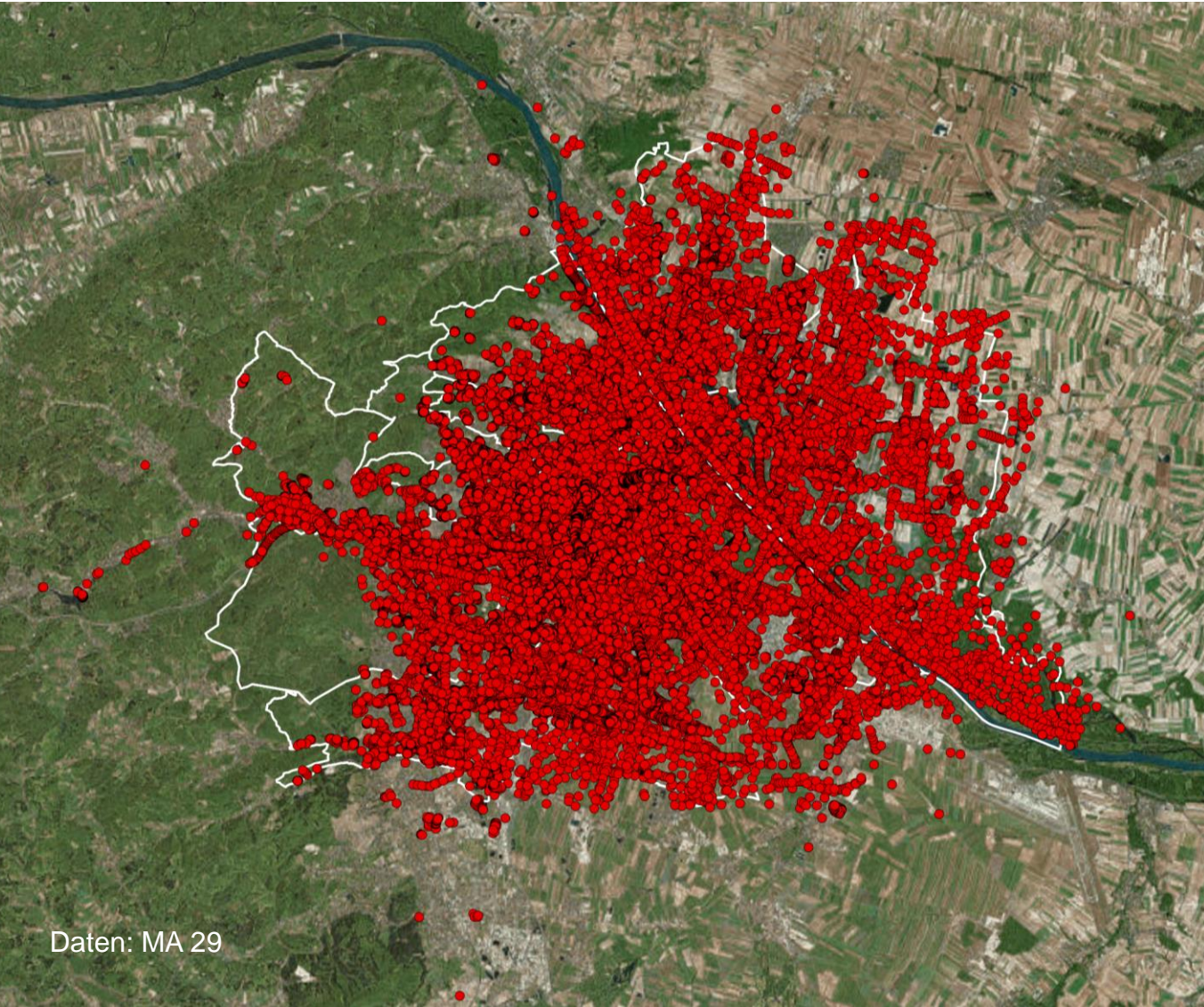
(MA 41 Stadtvermessung Wien, Stadt Wien)





# Bohrkerndaten

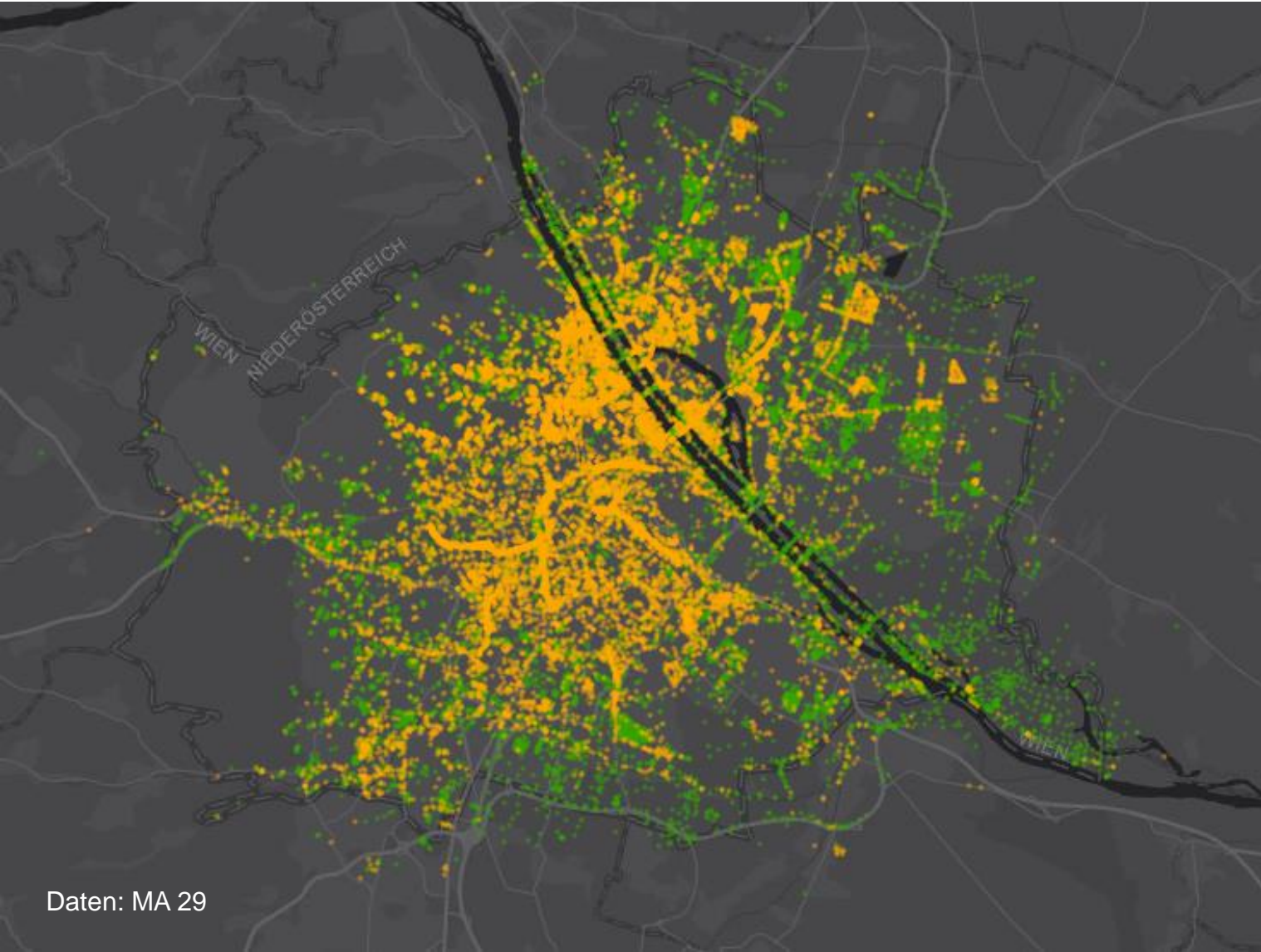
|   |                                  |   |  |
|---|----------------------------------|---|--|
| EDV-Nr.:<br><b>26707005</b>                 | BGK/BI-Nr.:<br><b>P707/KB-07</b> | Adresse: <b>1040 Wien Karlsplatz 8</b>                |  |
| Projekt:<br><b>Wien Museum, Erweiterung</b> |                                  | Auftraggeber:<br><b>MA 29 Brückenbau und Grundbau</b> | Ausführende Firma:<br><b>PORRUMWELTTEC</b> |
|   |                                  | Besteller:<br><b>Wien Museum Projekt GmbH</b>         | Geräteführer: Ramstorfer W.                |
| <b>M 1:100</b>                              | GOK [mWN]: <b>14.20</b>          | Koord. Y: <b>2967.81</b>                              | Neig. zu Lot: <b>0°</b>                    |
|   | GOK [müA]: <b>170.88</b>         | Koord. X: <b>340116.88</b>                            | geot.B.: <b>Jawecki</b>                    |
|   |                                  | AZr. von: <b>20.04.2015</b>                           | AZr. bis: <b>20.04.2015</b>                |



| Aufschluss            | Wasserbeobachtung<br>Zeit<br>Datum | TIEFE<br>relativ<br>absolut<br>[m üA] | Boden-<br>signatur | L<br>V | K<br>Z | TIEFE                | TIEFE             | SCHICHTBESCHREIBUNG<br>Bodenarten, Formen, Eigenschaften, Gefügemerkmale, Farben   |   |
|-----------------------|------------------------------------|---------------------------------------|--------------------|--------|--------|----------------------|-------------------|--|---|
|                       |                                    |                                       |                    |        |        | relativ<br>zu<br>GOK | absolut<br>[m üA] |  |   |
| Schacht<br>0.80x0.80m |                                    | 0.00                                  |                    |        |        | 0.00                 | 170.88            |  |   |
|                       |                                    |                                       | A                  |        |        | 0.15                 | 170.73            | Mutterboden; humos, sandig, schluffig; braun;  |   |
|                       |                                    |                                       | A                  |        |        | 0.35                 | 170.53            | Anschüttung; Pflastersteine;   |   |
|                       |                                    |                                       | A                  |        |        | 0.70                 | 170.18            | Anschüttung; Kies, sandig, gering steinig; graubraun; rund;<br>Anschüttung; Mittel-Grobkiesig, gering schluffig, sandig, wenig<br>Ziegelbruch, teilweise verbacken; graubraun, braun, schwarz; |   |
|                       | Rammkernbohrung<br>D220/180mm      |                                       | 3.00               | A      |        |                      | 3.00              | 167.88   |   |
|                       |                                    |                                       |                    | A      |        |                      | 3.30              | 167.58   | Anschüttung; Schluff, kiesig, sandig, sehr verbacken; braun, weißlich,<br>grau; fest;                             |
|                       |                                    |                                       |                    | A      |        |                      | 3.70              | 167.18   | Anschüttung; Ziegel, Grobkies, gering steinig (<150mm), sandig,<br>Mörtelreste; hellrot, grau;                    |
|                       |                                    |                                       |                    | A      |        |                      | 4.00              | 166.88   | Anschüttung; Schluff, kiesig, sandig, sehr verbacken, Ziegelbruch; braun,<br>weißlich, grau; fest;                |
|                       |                                    |                                       |                    | A      |        |                      | 4.70              | 166.18   | Anschüttung; Feinsand, schluffig, wenig Ziegelbruch, gering kiesig,<br>teilweise verbacken; braun, grau;          |
|                       |                                    |                                       |                    | A      |        |                      | 5.00              | 165.88   | Anschüttung; Sand, gering kiesig, wenig Ziegelbruch, Schlacke; braun,<br>dunkelgrau;                              |
|                       |                                    |                                       |                    | A      |        |                      | 5.40              | 165.48   | Anschüttung; Schluff, Mittel-Grobkies, feinsandig, gering steinig,<br>Ziegelbruch; dunkelbraun;                   |
|                       |                                    |                                       |                    | A      |        |                      | 5.90              | 164.98   | Anschüttung; Ziegelbruch, Sandsteinbruchstücke, Kohlereste; beige;  |
|                       |                                    |                                       |                    | A      |        |                      | 6.50              | 164.38   | Anschüttung; Fein-Mittelsand, schluffig; braun;   |
|                       |                                    |                                       |                    | A      |        |                      | 7.40              | 163.48   | Anschüttung; Kies, sehr sandig, wenig Ziegelbruch, Quarzkies,<br>Sandsteinkies, Kanten gerundet; braun; gerundet; |
|                       |                                    |                                       | A                  |        |        | 8.85                 | 162.03            | Fein-Mittelkies; sehr sandig, gering grobkiesig; [Quarzkies]; braun,<br>graubraun; rund;   |   |
|                       | 1▽<br>20.04.                       | 9.50<br>161.38                        |                    |        |        | 9.80                 | 161.08            | Schluff, gering feinsandig, gering tonig; braun, oliv, rostfarbengesprenkelt;<br>steif - halbfest;   |   |
|                       |                                    |                                       |                    |        |        | 10.20                | 160.68            | Schluff, feinsandig, gering tonig; grau; steif;  |   |
|                       |                                    |                                       |                    |        |        | 11.20                | 159.68            |  |   |
|                       |                                    |                                       |                    |        |        | 11.40                | 159.48            | Schluff, sehr feinsandig; grau;<br>Feinsand; sehr schluffig; wenig fossilführend; grau;  |   |
|                       |                                    |                                       |                    |        |        | 13.00                | 157.88            | Grobschluff; sehr feinsandig; grau; steif - halbfest;  |   |



# Verteilung der anthropogenen Schichten

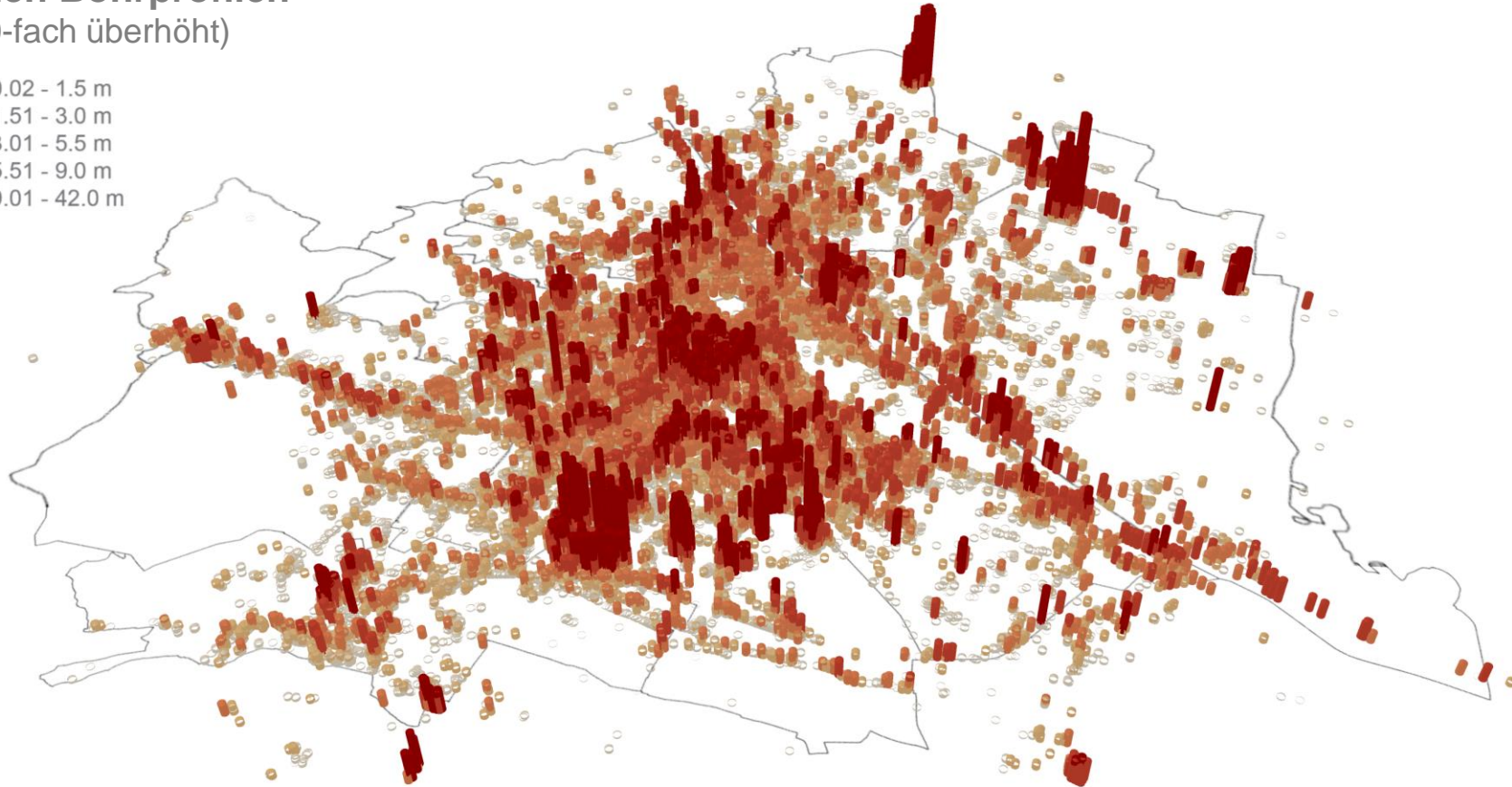


Gelb: Bohrkerne mit Anschüttung

Grün: Bohrkerne ohne Anschüttung

## Mächtigkeit der anthropogenen Schichten in den Bohrprofilen (100-fach überhöht)

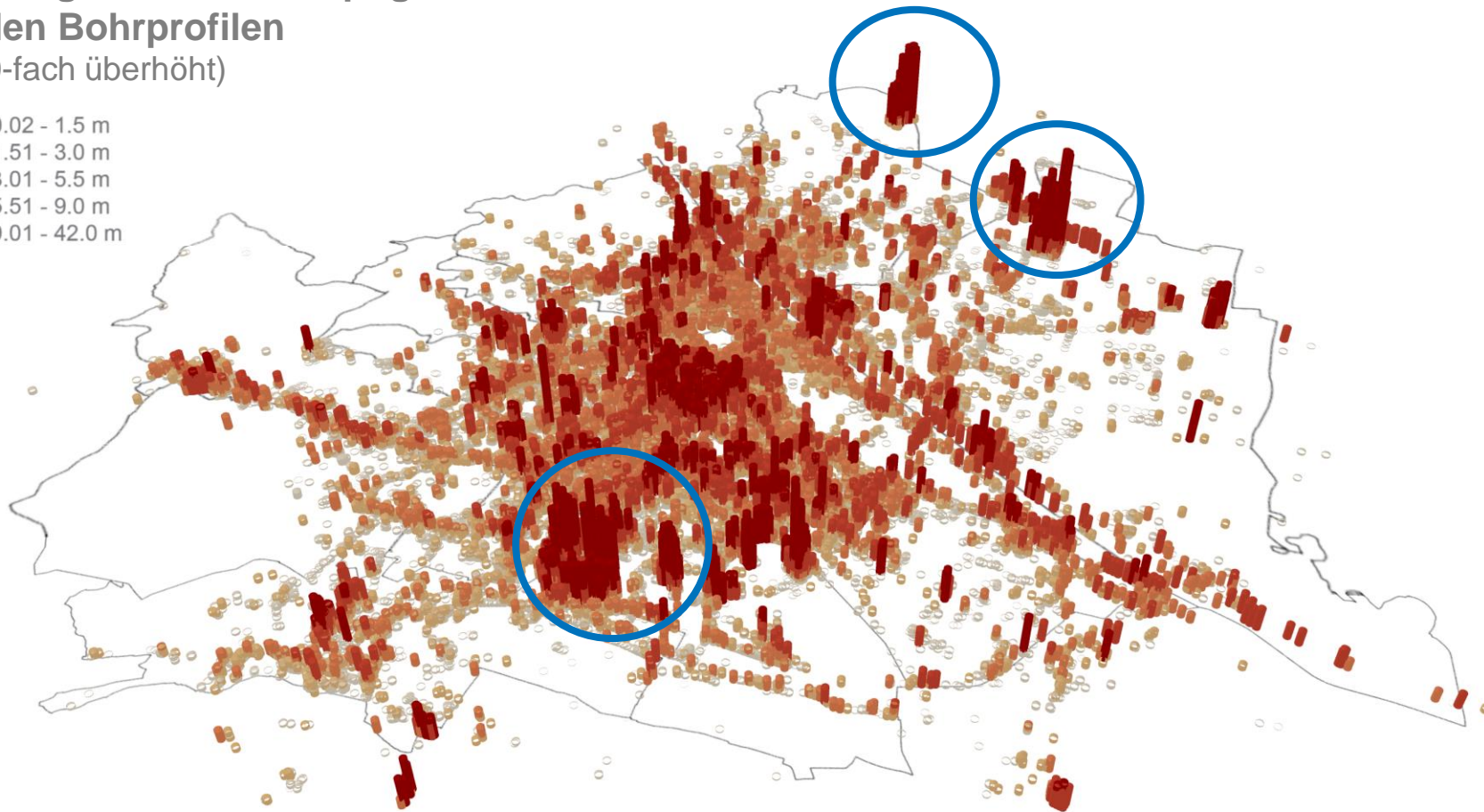
- 0.02 - 1.5 m
- 1.51 - 3.0 m
- 3.01 - 5.5 m
- 5.51 - 9.0 m
- 9.01 - 42.0 m





## Mächtigkeit der anthropogenen Schichten in den Bohrprofilen (100-fach überhöht)

- 0.02 - 1.5 m
- 1.51 - 3.0 m
- 3.01 - 5.5 m
- 5.51 - 9.0 m
- 9.01 - 42.0 m

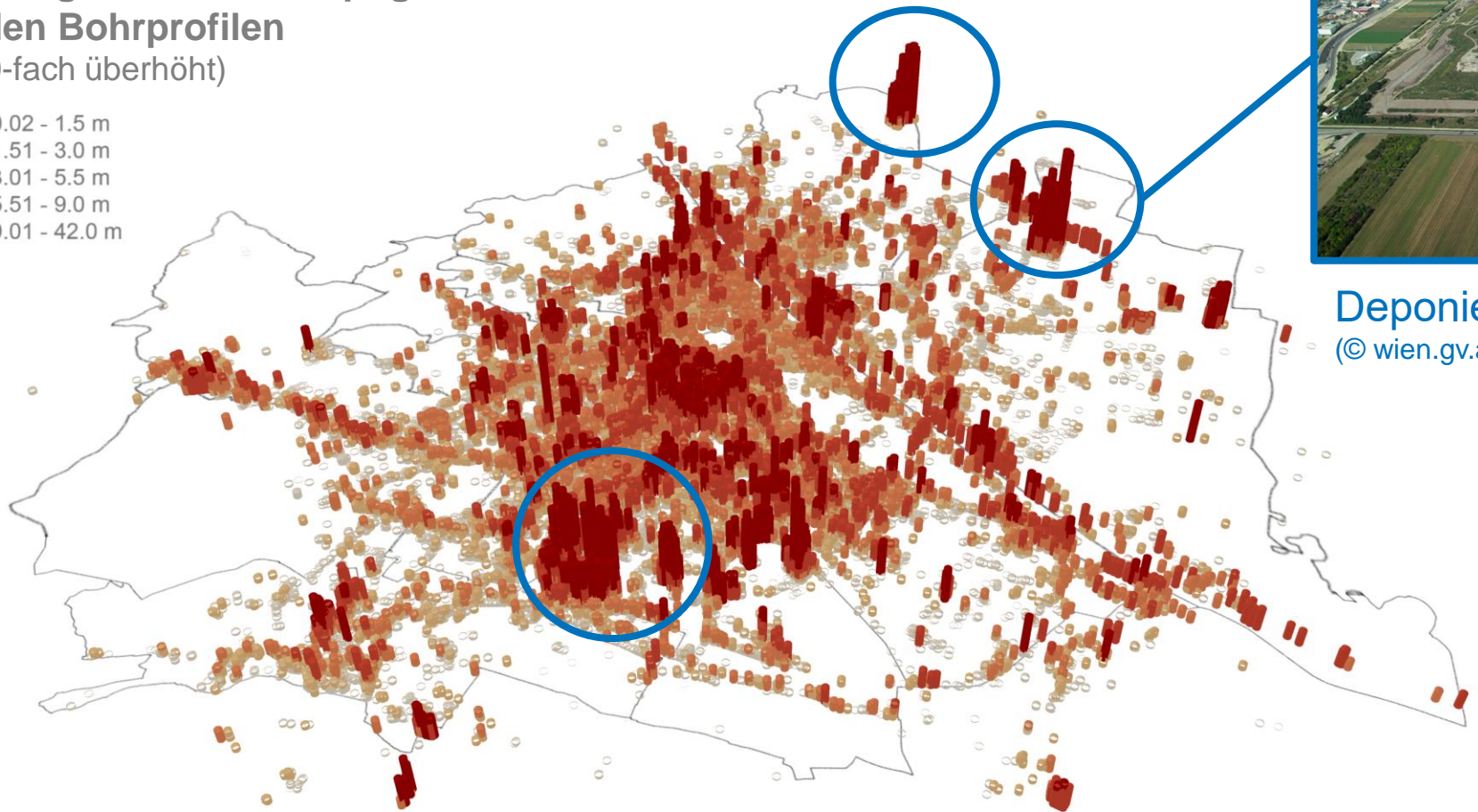




# Mülldeponien

Mächtigkeit der anthropogenen Schichten  
in den Bohrprofilen  
(100-fach überhöht)

- 0.02 - 1.5 m
- 1.51 - 3.0 m
- 3.01 - 5.5 m
- 5.51 - 9.0 m
- 9.01 - 42.0 m

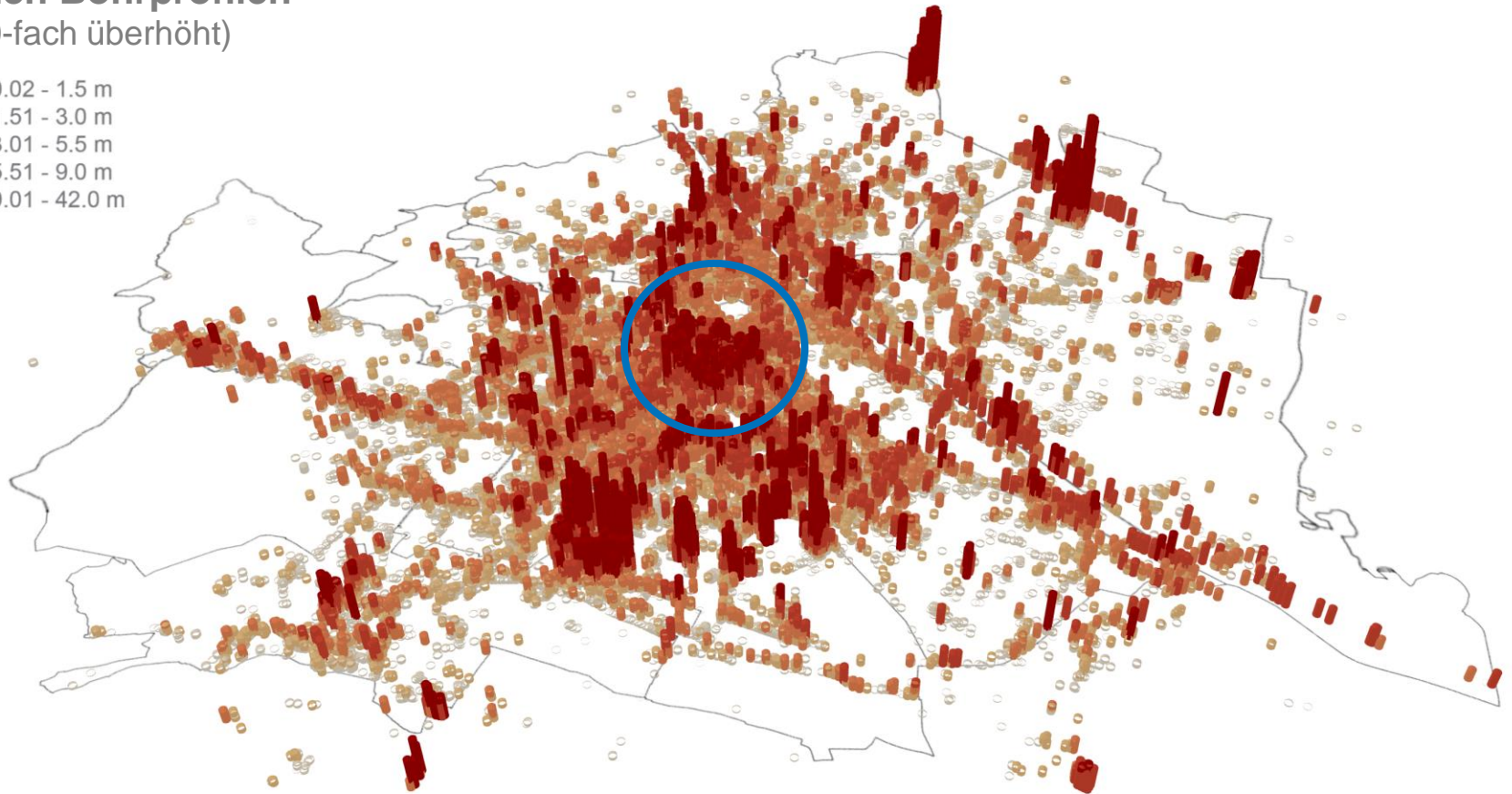


Deponie „Rautenweg“  
(© wien.gv.at)



## Mächtigkeit der anthropogenen Schichten in den Bohrprofilen (100-fach überhöht)

- 0.02 - 1.5 m
- 1.51 - 3.0 m
- 3.01 - 5.5 m
- 5.51 - 9.0 m
- 9.01 - 42.0 m

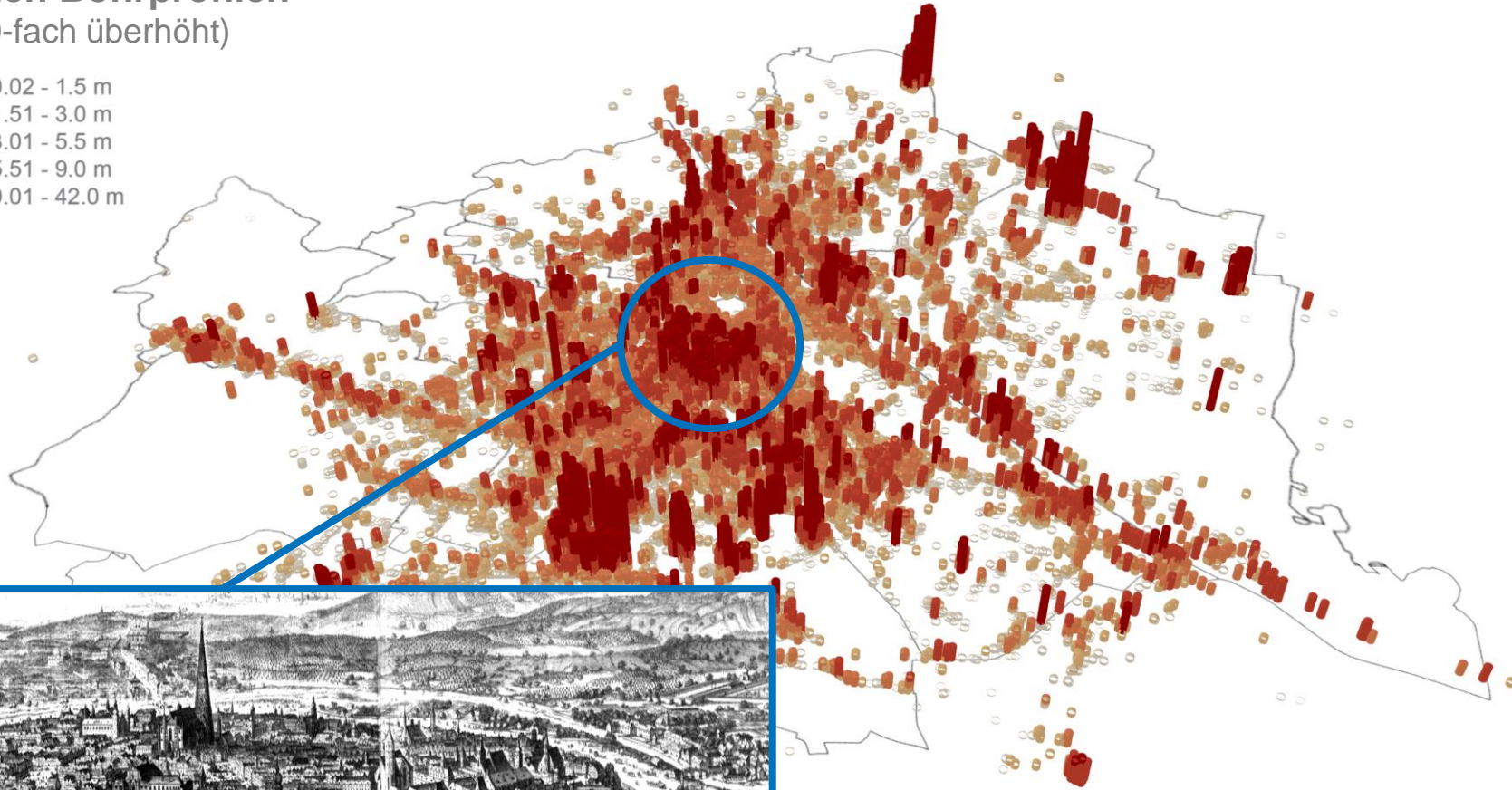




# Stadtmauern des 16. Jhs.

Mächtigkeit der anthropogenen Schichten  
in den Bohrprofilen  
(100-fach überhöht)

- 0.02 - 1.5 m
- 1.51 - 3.0 m
- 3.01 - 5.5 m
- 5.51 - 9.0 m
- 9.01 - 42.0 m

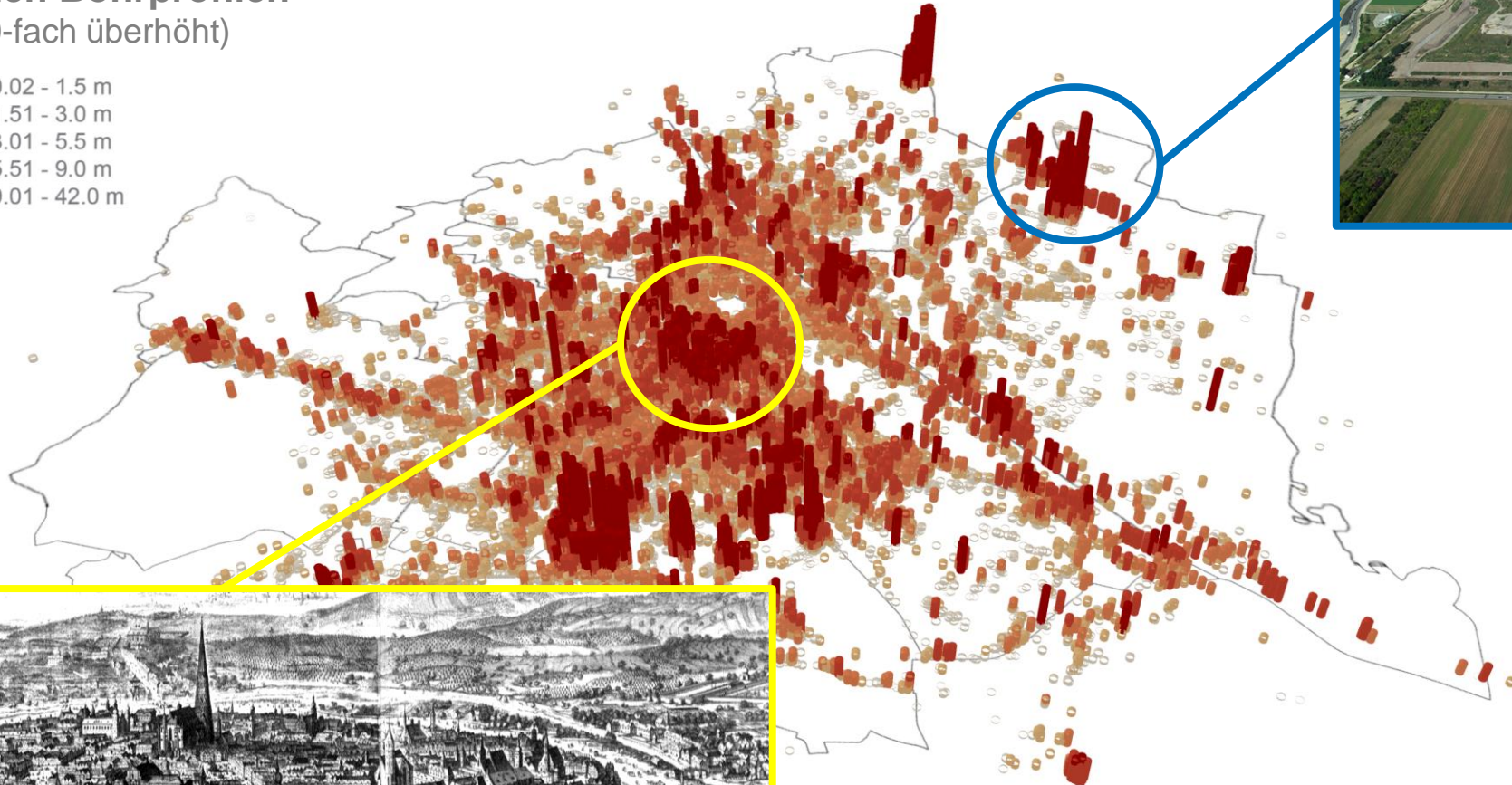


Ansicht von Folbert van Ouden-Allen, 1683



# Mächtigkeit der anthropogenen Schichten in den Bohrprofilen (100-fach überhöht)

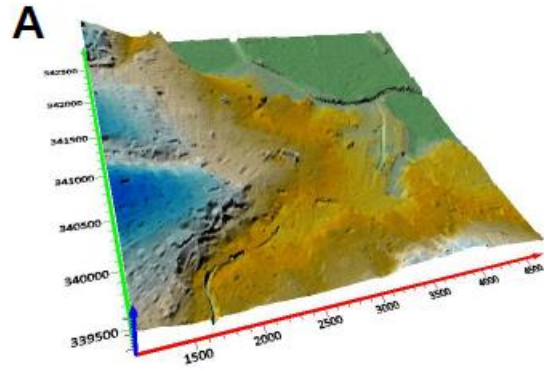
- 0.02 - 1.5 m
- 1.51 - 3.0 m
- 3.01 - 5.5 m
- 5.51 - 9.0 m
- 9.01 - 42.0 m





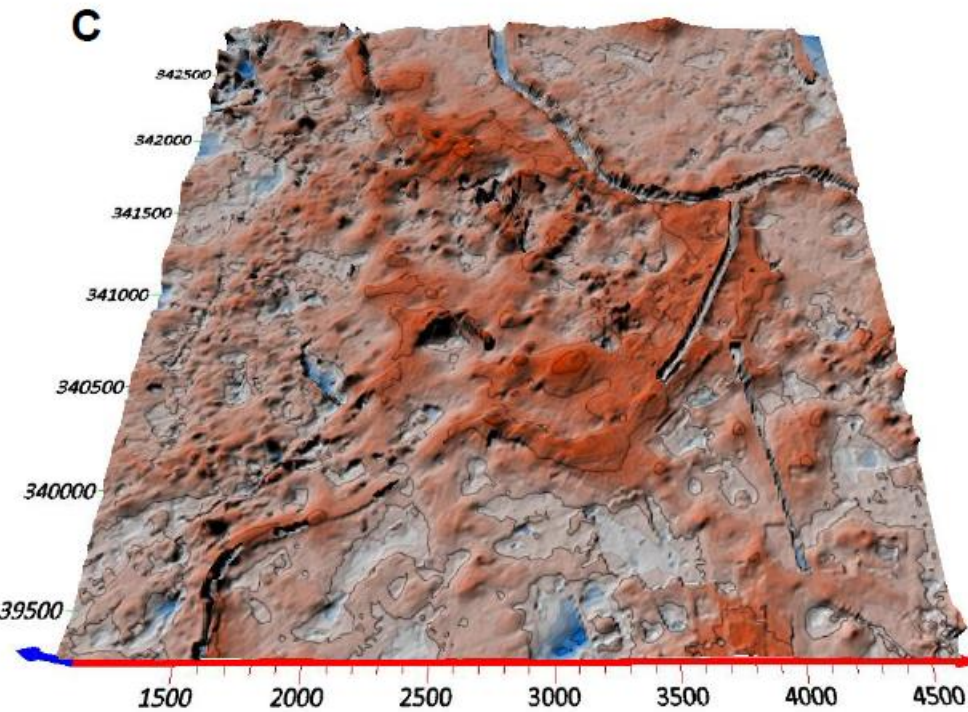
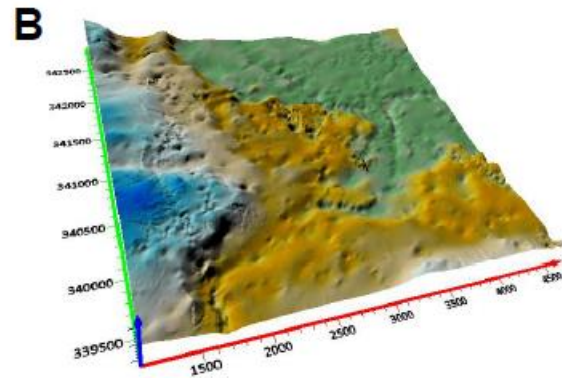
# Berechnung der Anschüttungsmächtigkeit

Digitales  
Geländemodell



$$A - B = C$$

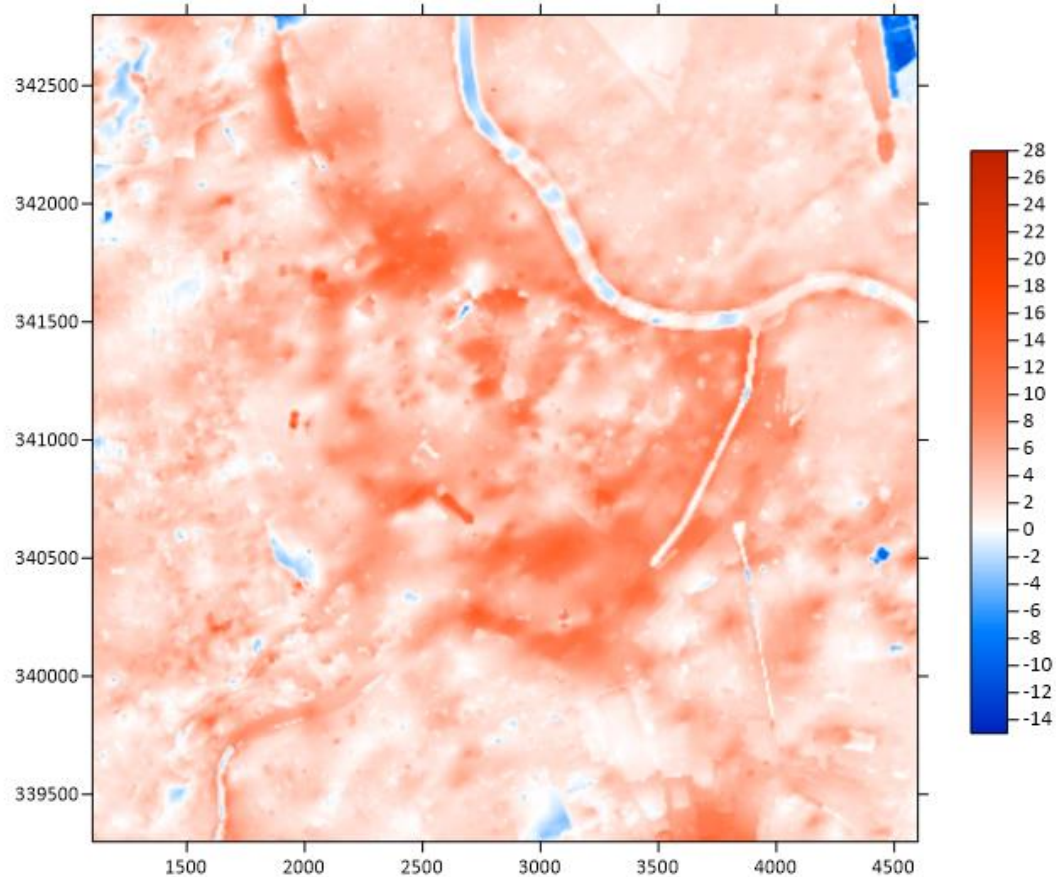
Interpolierte  
Anschüttungs-  
unterkante





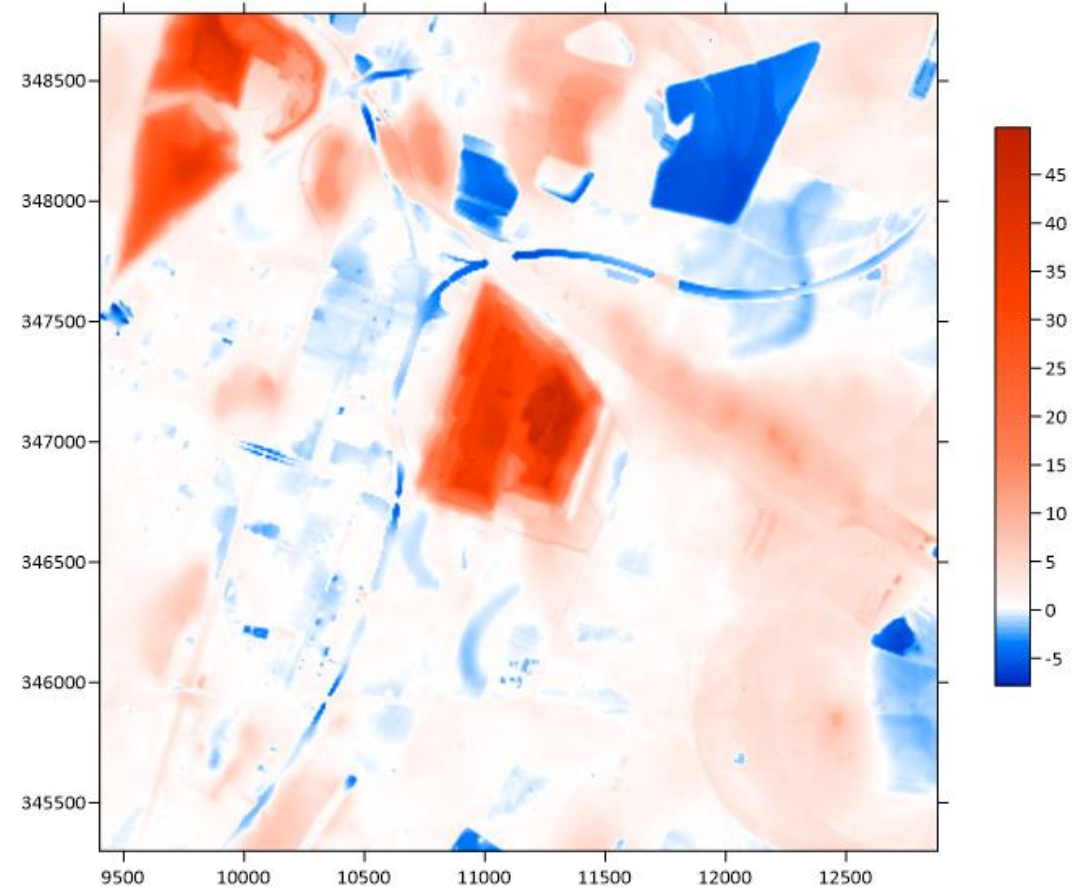
# Anschüttungsmächtigkeit

Innenstadt (1010)



Volumen der Anschüttung:  
**46,153,092.90 m<sup>3</sup>**

Deponien (1220)

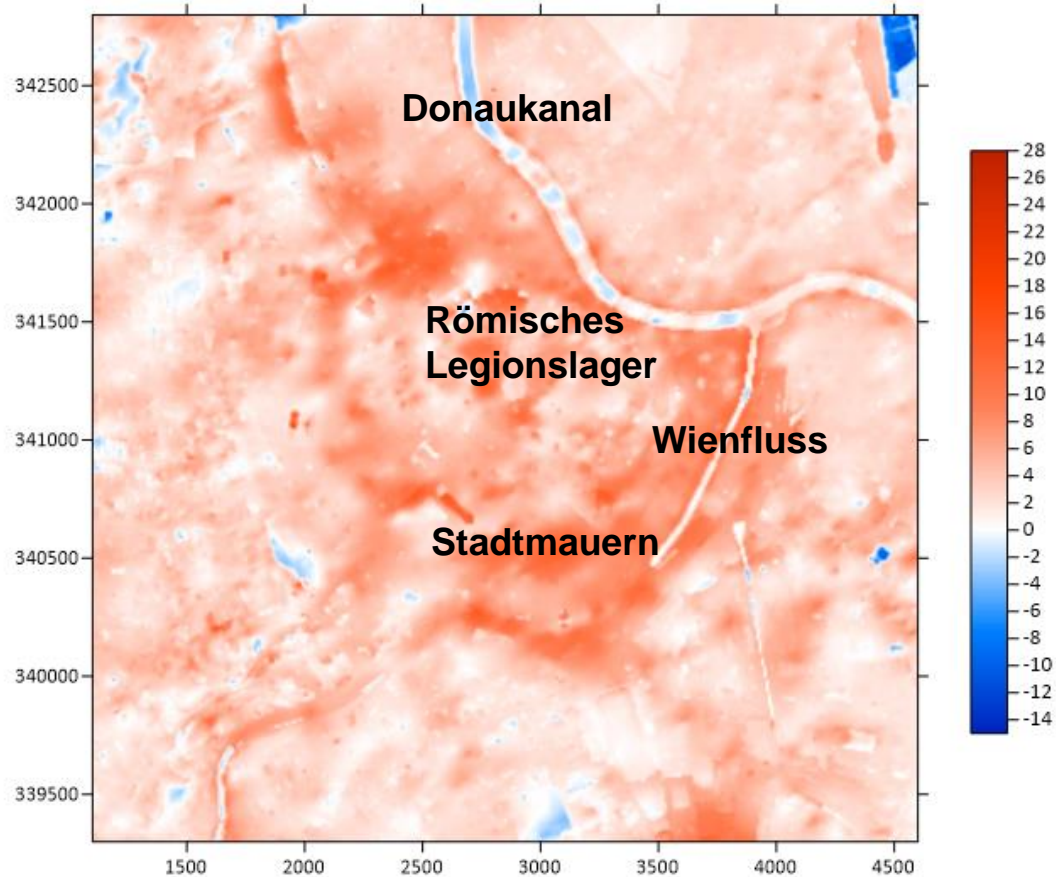


Volumen der Anschüttung:  
**42,927,291.32 m<sup>3</sup>**



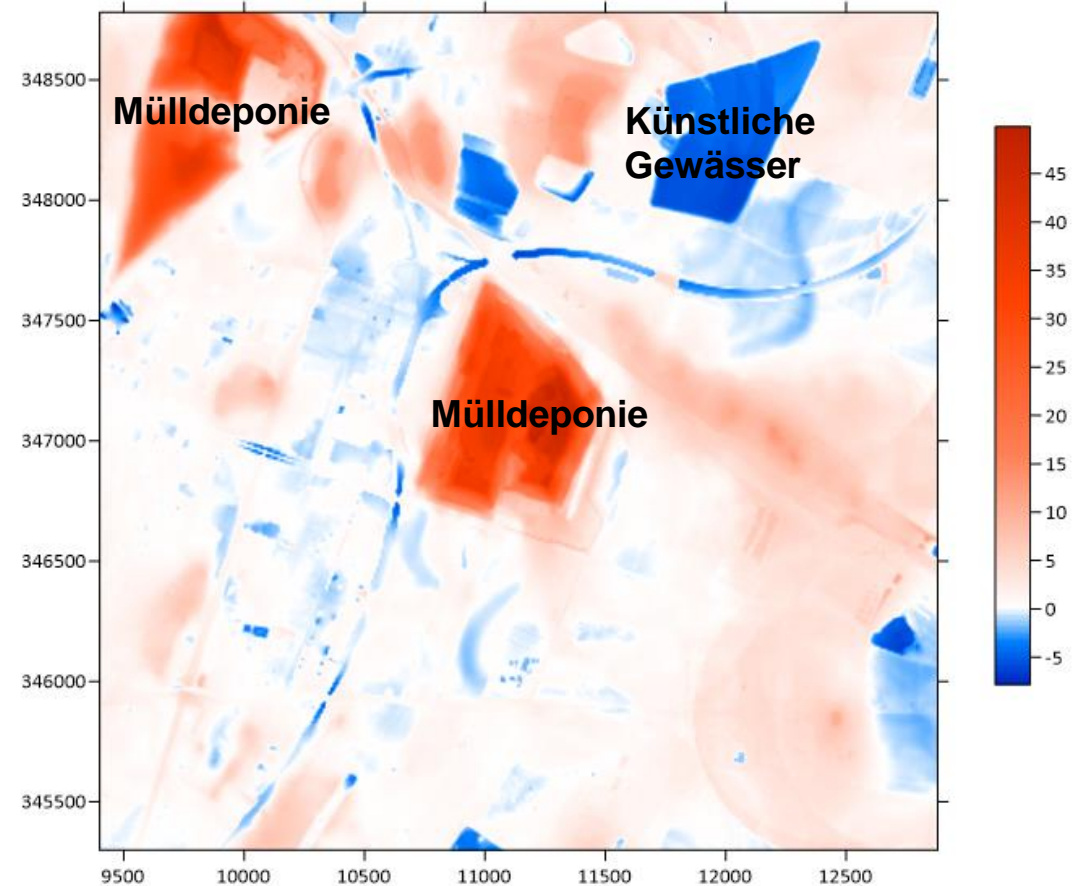
# Anschüttungsmächtigkeit

Innenstadt (1010)



Volumen der Anschüttung:  
**46,153,092.90 m<sup>3</sup>**

Deponien (1220)



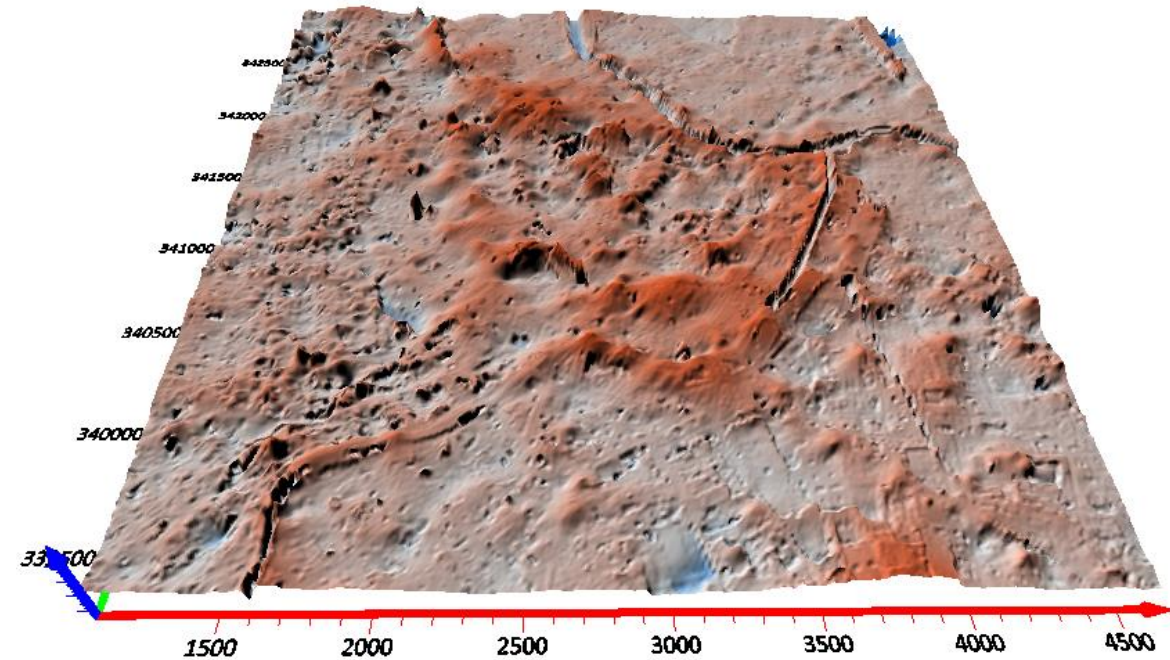
Volumen der Anschüttung:  
**42,927,291.32 m<sup>3</sup>**



# Anschüttungsmächtigkeit

(10-fach überhöht)

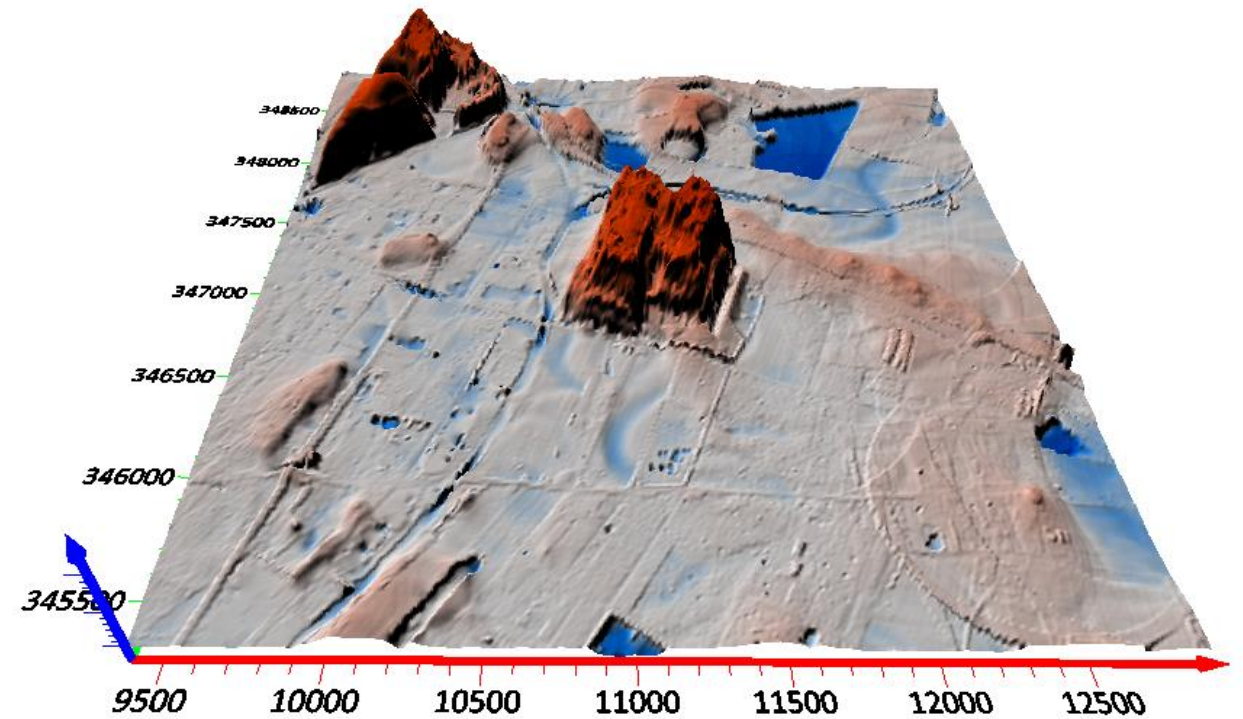
Innenstadt (1010)



Volumen der Anschüttung:

**46,153,092.90 m<sup>3</sup>**

Deponien (1220)



Volumen der Anschüttung:

**42,927,291.32 m<sup>3</sup>**